

Implementação de campos potenciais aplicado robótica utilizando ROS

Anderson Camargo Sant'Ana

PPGCC - Programa de Pós-Graduação em Ciência da Computação - PUCRS

anderson.santana.001@acad.pucrs.com

Abstract—O trabalho propõe a implementação de campos potenciais para traçar a trajetória de um robô móvel de forma que o robô não colida com os obstáculos presentes no ambiente. Esta técnica foi implementada na plataforma chamada ROS (Robot Operating System).

Keywords—Campos potenciais, ROS, robô.

I. INTRODUÇÃO

Este presente trabalho foi requisitado pela disciplina de Robótica Móvel Inteligente, e tem o objetivo de implementar um campo potencial para traçar a trajetória de um robô móvel. Em um contexto geral da disciplina, foi proposto uma divisão das atividades para os alunos cujo o objetivo geral proporcionar o entendimento das técnicas aplicadas a robótica para os alunos de pós-graduação.

II. FUNDAMENTOS

O planejamento de caminho do campo potencial consiste em criar um campo ou gradiente no mapa do robô que direciona o robô para a posição de destino a partir de várias posições de partida. O método de campo potencial trata o robô como um ponto sob a influência de um campo de potencial artificial. O robô se move acompanhando o campo [1].

A posição de destino (ocupa mínimo neste espaço no mapa) atua como uma força atrativa para o robô, e os obstáculos atuam como picos ou forças repulsivas. Tal campo de potencial artificial suavemente guia o robô em direção ao destino enquanto simultaneamente evita obstáculos conhecidos [1].

É importante notar, porém, que isso mais do que apenas planejar o caminho. O campo resultante também é uma lei de controle do robô. Supondo que o robô possa localizar sua posição em relação ao mapa e ao campo em potencial, ele sempre pode determinar sua próxima ação necessária com base no campo.

A ideia básica por trás de todas as abordagens de campo em potencial que o robô é atraído para o destino, sendo repelido pelos obstáculos que são conhecidos de antem/ ao. Se novos obstáculos aparecerem durante o movimento do robô, pode-se atualizar o campo potencial para integrar essa nova informação [1].

As figuras 1,2 e 3, extraídas de [1] exemplificam a técnica de campos potenciais .

A Figura 1 mostra a mapa criado onde o robô trafegará. Este mapa pode ser criado através de uma varredura do ambiente utilizando alguns sensores, como por exemplo, sensores

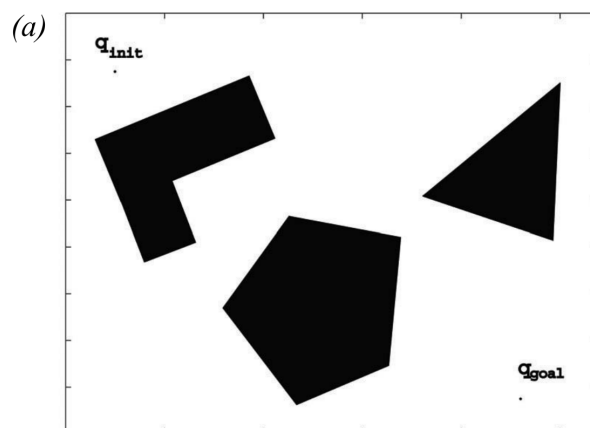


Fig. 1. Configuração dos obstáculos [1].

ultrassônicos, sensores ópticos que identifiquem os objetos presentes no ambiente e marquem no mapa.

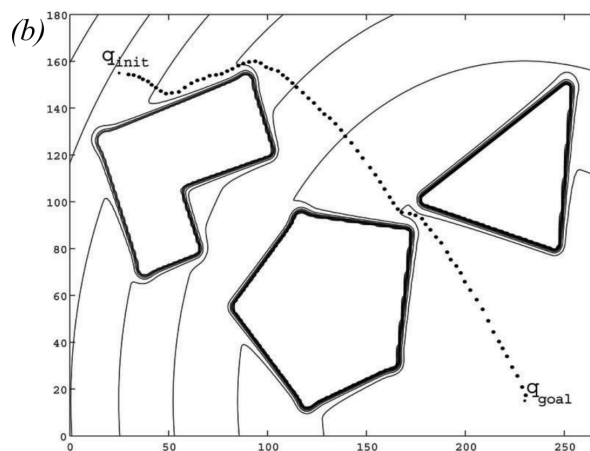


Fig. 2. Curvas de nível do campo potencial e caminho seguido pelo robô [1].

A Figura 2 mostra a trajetória gerada pelos campos potenciais, nota-se que o robô desvia de todos os objetos presentes no mapa percorrendo o caminho mais direto ao destino.

A fig. 3 mostra os objetos como picos e o destino como um buraco, assim o robô converge para o destino proposto, para entender melhor, imagina-se que o robô tem o mesmo comportamento que uma bola que rolaria num morro.

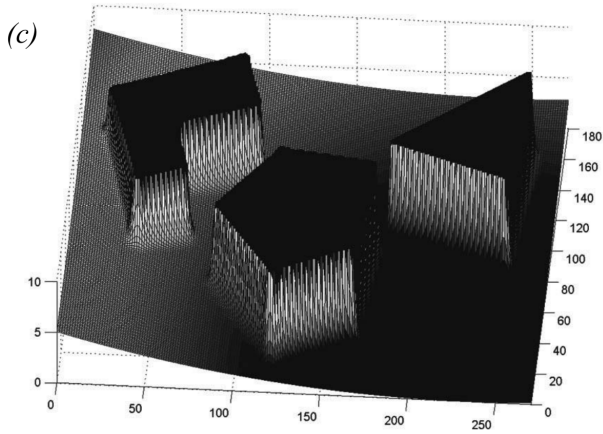


Fig. 3. Campo potencial [1].

III. IMPLEMENTAÇÃO DO CAMPO POTENCIAL

Nós implementamos a técnica de campos potenciais no ambiente ROS (*Robot Operation System*). Nós criamos um ambiente para o robô se deslocar. Este ambiente é possível ver no Gazebo, conforme mostra a figura 4. O robô utilizado é o TurtleBot disponível no ambiente ROS.

A. Cenário

Na Figura 4 mostra cinco objetos colocados aleatoriamente no ambiente, junto com uma barreira em forma de quadrado para limitar o espaço de tráfego do robô.

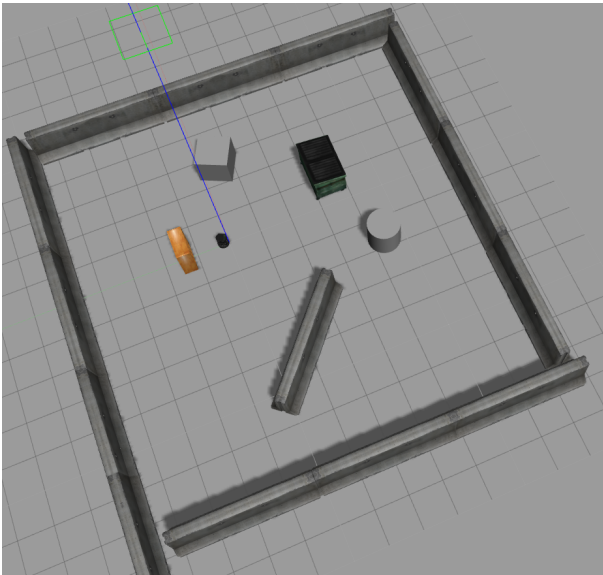


Fig. 4. Configuração dos obstáculos no ambiente Gazebo.

A Figura 5 mostra o mapa sendo importado para o ambiente RVIZ, onde o usuário pode determinar a posição de destino através da API (*Application Programming Interface*) chamada 2D Nav Goal.

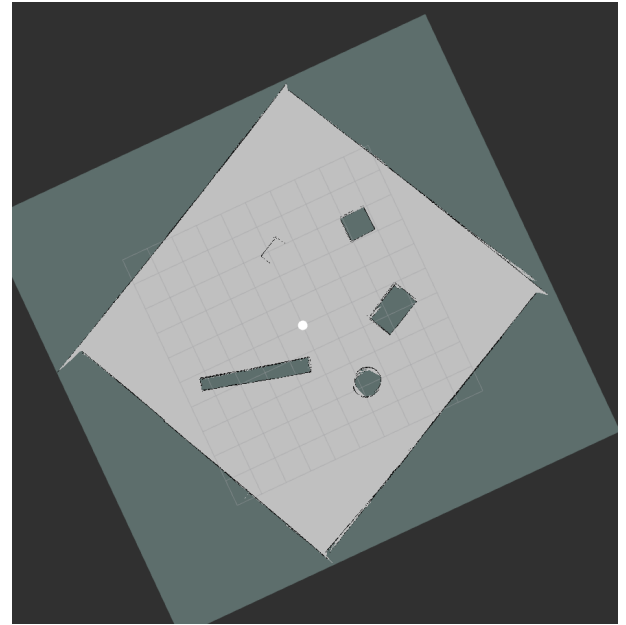


Fig. 5. Mapa importado para o ambiente RVIZ.

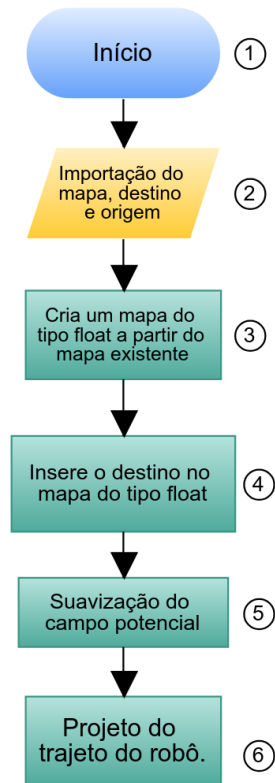


Fig. 6. Fluxograma do algoritmo do campo potencial.

B. Campo Potencial

O algoritmo possui seis etapas principais, conforme apresenta a Fig. 6:

Chamada da função (1): Toda vez que publicar no tópico `move_base_simple/goal` a função que gera os campos potenciais será chamada, ou seja, toda vez que inserir um novo destino

será executado o campo potencial.

Importação dos dados (2): Nessas etapa, importamos a posição de origem e destino junto com o mapa do ambiente.

Criação de outro mapa do tipo *float* (3): Nessa etapa, é criado um vetor do tipo de *float* com um tamanho reduzido, nesse mapa que será desenvolvido o campo potencial. É atribuído pesos para áreas livres (onde o robô pode trafegar) de 0.5, e os objetos recebem um peso de 1.0.

Inserção do destino (4): É gerado um círculo cujo centro deste círculo é o destino, isso será utilizado para aumentar a área do destino, esse artifício ajuda na hora da convergência do campo potencial. O destino recebe um peso de valor zero.

Suavização do mapa (5): É a etapa mais importante pois será nela que os gradientes do mapa são gerados. Sua função é atribuir valores a cada ponto do mapa em função da média dos pesos dos oito pixels vizinhos, conforme mostra o algoritmo 1. Os pixels que mudam de pesos, são especificamente os de áreas livres, o destino e os objetos mantêm seus pesos constantes. A suavização do mapa realizada apenas uma vez, porém foi atribuído quinze mil varreduras no processo de suavização. Após muitos testes foram definido este valor devido a quantidade de obstáculos presentes no mapa e o tamanho do mapa, este valor pode ser reduzido caso o mapa for menor ou a quantidade de objetos forem menores também. O algoritmo 1 mostra o desenvolvimento da suavização do campo potencial, nota-se que *smoothinglevel* é uma variável que assumiu um valor de 15000, ou seja, acontece 15 mil interações para gerar o campo. O destino e os objetos não participam das interações

Algorithm 1 Suavização do Campo Potencial

```

1: for k ← 0 at smoothinglevel do
2:   for i ← 1 at height-1 do
3:     for j ← 1 at width-1 do
4:       if (mapFloat[i*width + j] != Objetos)
         (mapFloat[i*width + j] != destino) then
         mapFloat[i*width + j] = float(mapFloat[(i+1)*width+
         j-1]+ mapFloat[(i)*width+ j-1]+mapFloat[(i-1)*width+
         j-1]+ mapFloat[(i+1)*width+ j]+mapFloat[(i-1)*width+
         j]+ mapFloat[(i+1)*width+ j+1]+ mapFloat[(i)*width+
         j+1]+mapFloat[(i-1)*width+ j+1])/8.0;
5:       end if
6:     end for
7:   end for
8: end for

```

Projeto do trajeto do robô (6): A partir da posição atual (cx e cy) importada pelo filtro de partícula, é analisada os 8 pixels vizinhos, onde é escolhido o pixel com peso menor, após é atualizada a posição atual para a posição do pixel escolhido. É realizado essa verificação de pesos até que a alcance a posição do destino como mostra o algoritmo 2.

C. Paralelização do Campo Potencial

Foi estudada uma forma de paralelizar o algoritmo de campos potenciais para aplicar em um MPSoC (*Multiprocessor Systems-on-Chip*), a Figura 7 exemplifica a paralelização, onde

Algorithm 2 Decisão da trajetória do robô

```

for i ← 1 at 8 do
  if (vector[i] ≤ vector[lowest_index]) then lowest_index =
  i;
  end if
  if
    if then then(mapFloat[cy*width + cx] == 0) break;
    else
      if (lowest_index==1) then cx--;
      end if
      if (lowest_index==0) then cy++; cx--;
      end if
      if (lowest_index==2) then cy--; cx--;
      end if
      if (lowest_index==3) then cy++;
      end if
      if (lowest_index==4) then cy--;
      end if
      if (lowest_index==5) then cy++; cx++;
      end if
      if (lowest_index==6) then cx++;
      end if
      if (lowest_index==7) then cy--; cx++;
      end if
      ROS_INFO("atual y : cy);
    end if
  end if
end if

```

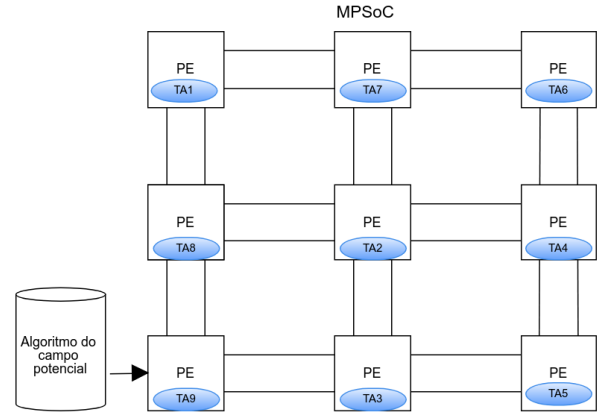


Fig. 7. Algoritmo do Campo potencial sendo executado num MPSoC.

o algoritmo do campo potencial é dividido em tarefas (TA) que podem serem executadas independente umas das outras.

O objetivo principal era paralelizar a etapa de suavização, pois para que o campo potencial converja em menor tempo é necessário um número alto de interações, como por exemplo, quinze mil interações em nossa implementação. Para isso, foi excluída a função *resize* do OpenCV e substituída por uma função (mostrada pelo Algoritmo 3) que reduz o mapa através de uma matriz 5x5, assim com essa nova função é possível paralelizar o comportamento. A função recebe uma matriz 5x5 do mapa original, representada pela variável *buffer*, o qual se prioriza o destino, ou seja, se na varredura da matriz encontrasse uma posição de destino, o valor retornado será o valor de destino, para outros valores como obstáculos e áreas livres é realizado um quórum.

Entretanto, ao analisar o paralelismo do algoritmo, notamos que para realizar a suavização é necessário o processamento sequencial dos pixels, o valor de um pixel influencia no outro, caracterizando assim, um processamento sequencial.

Algorithm 3 Função de redução do mapa

```

1: for i  $\leftarrow$  0 at 5 do
2:   for j  $\leftarrow$  1 at 5 do
3:     if buffer[i][j]==preto) then return 0;
4:     else
5:       if buffer[i][j]==destino then return 0;
6:       else
7:         if buffer[i][j]==objetos then
           conta_branco++;
8:         else
9:           if buffer[i][j]==area_livre) then
             conta_area_livre++;
10:          else contador_pixel++;
             mado_valor_cor=buffer[i][j];
11:          end if
12:        end if
13:      end if
14:
15:
16:      if conta_branco for maior then return objetos;
17:      else
18:        if se area_livre for maior then return
           area_livre;
19:        end if
20:      end if

```

IV. RESULTADOS

A Figura 7 mostra o trajetória do robô gerado pelo campo potencial, onde o círculo preto representa a posição de destino. Nota-se as curvas iniciais (em preto) do robô demonstram o alinhamento da frente do robô para o destino. importante ressaltar que os pontos pretos ao redor do destino são oriundos do processo de suavização. Observa-se que o robô saiu de sua origem e foi até o destino sem colidir com nenhum objeto.

V. CONCLUSÃO

Através dos resultados notamos que a técnica de campos potenciais demonstrou uma grande acurácia na formação do trajeto proposto ao robô, podemos notar que a suavização do campo é uma etapa fundamental para que o robô encontre o destino em menor tempo.

É importante ressaltar, que durante a suavização, o desempenho foi melhor quando realizamos a média aritmética dos oitos pixels vizinhos ao invés de 4 pixels como fora implementado inicialmente. Fora analisado a paralelização desta técnica para executar em um MPSoC, porém há uma limitação ao criar o campo, pois é necessário o processamento sequencial para gerar o campo, onde o processamento de um pixel influencia diretamente o pixel seguinte, limitando assim, a paralelização do algoritmo.

AGRADECIMENTOS

O autor agradece ao Pós-Doutorando Vitor A. M. Jorge e ao professor Alexandre Amory da Pontifícia Universidade

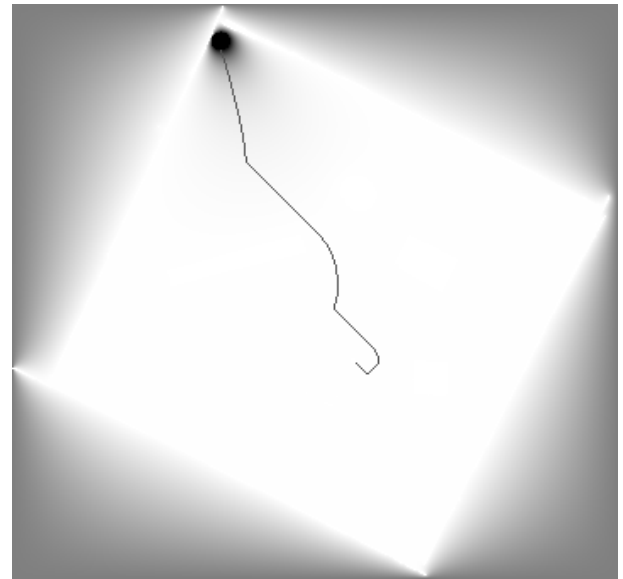


Fig. 8. O caminho a ser seguido pelo robô gerado pelos campos potenciais.

Católica do Rio Grande do Sul pelas suas orientações para este trabalho.

REFERENCES

- [1] Siegwart, R. Nourbakhsh, I. R. Introduction to Autonomous Mobile Robots, MIT Press, 2004.